

МАТЕМАТИЧЕСКАЯ МОДЕЛЬ ФИЛЬТРАЦИИ ГАЗА ЧЕРЕЗ СТЕНКУ ФОРМЫ ПРИ ЛИТЬЕ ПО ПЕНОПОЛИСТИРОЛОВЫМ МОДЕЛЯМ В УСЛОВИЯХ ЗАЛИВКИ ВАКУУМНЫМ ВСАСЫВАНИЕМ

Кинетика заполнения форм при литье вакуумным всасыванием определяется темпом создания разрежения в полости формы. При литье по пенополистироловым моделям эта кинетика, кроме процессов истечения газа из камеры в ресивер, зависит от интенсивности парообразования при испарении пенополистирола в зазоре между расплавом и моделью, а также от процесса фильтрации газа через песчаную стенку (засыпки) в вакуумную камеру. Рассмотрим математическую модель этого процесса (рис. 1).

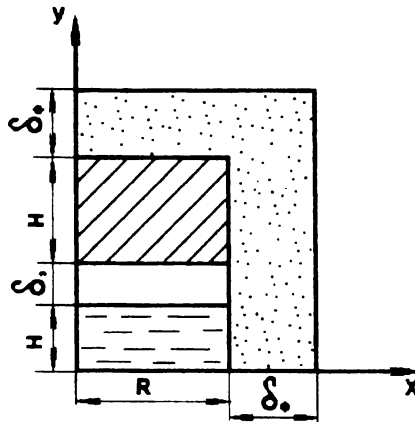


Рис. 1. Расчетная схема процесса

Для вычисления скорости фильтрации применим уравнение Дарси

$$\bar{v} = -\frac{\kappa}{\mu} \cdot \text{grad}P, \quad (1)$$

где κ – коэффициент проницаемости среды, м^2 ;

μ – динамический коэффициент вязкости газа, Па·с;

P – давление газа, Па.

Запишем уравнение неразрывности потока газа

$$\Pi \cdot \frac{\partial \rho}{\partial t} = -\operatorname{div}(\rho \cdot \vec{v}), \quad (2)$$

где Π – пористость среды;

ρ – плотность газа, кг/м³.

С учетом (1) уравнение (2) принимает вид

$$\Pi \cdot \frac{\partial \rho}{\partial t} = \operatorname{div}\left(\frac{\kappa}{\nu} \cdot \operatorname{grad} P\right),$$

где ν – кинематический коэффициент вязкости газа, м²/с.

Учитывая, что для большинства газов, включая воздух, в интервале температур от 600 до 900 К кинематический коэффициент вязкости ν изменяется в пределах от $50 \cdot 10^{-6}$ до $100 \cdot 10^{-6}$ м²/с, усреднив его, в дальнейшем примем $\nu = 75 \cdot 10^{-6}$ м²/с. Примем коэффициент проницаемости постоянным в объеме стенки формы. С учетом этого имеем

$$\Pi \cdot \frac{\partial \rho}{\partial t} = \frac{\kappa}{\nu} \left(\frac{\partial^2 P}{\partial x^2} + \frac{\partial^2 P}{\partial y^2} + \frac{\partial^2 P}{\partial z^2} \right). \quad (3)$$

Примем $\rho = \frac{P}{RT_g}$, где T_g – температура газа. Получаем следующее уравнение для расчета поля давления:

$$\frac{\partial \left(\frac{P}{T_g} \right)}{\partial t} = \frac{\kappa \cdot R}{\Pi \cdot \nu} \left(\frac{\partial^2 P}{\partial x^2} + \frac{\partial^2 P}{\partial y^2} + \frac{\partial^2 P}{\partial z^2} \right). \quad (4)$$

Напишем граничные условия для уравнения (4):

$$P(x^*, y^*, z^*) = P_\phi, \quad (5)$$

$$P(x^{***}, y^{**}, z^{***}) = P_\kappa, \quad (6)$$

$$\left(\frac{\partial P}{\partial x}\right)_{x^{\dots}, y^{\dots}, z^{\dots}} = 0, \quad (7) \quad \left(\frac{\partial P}{\partial y}\right)_{x^{\dots}, y^{\dots}, z^{\dots}} = 0, \quad (8) \quad \left(\frac{\partial P}{\partial z}\right)_{x^{\dots}, y^{\dots}, z^{\dots}} = 0. \quad (9)$$

Здесь P_k – давление в камере ($P_k = (P_a - P_p)(1 - \exp(-\beta t))$), где P_p – давление в ресивере; P_a – атмосферное давление; β – коэффициент, зависящий от объема камеры, проходного сечения дросселя и P_p) [1];

$x^{\dots}, y^{\dots}, z^{\dots}$ – координаты поверхности контакта формы с зазором;
 $x^{\dots}, y^{\dots}, z^{\dots}$ – координаты поверхности контакта формы с моделью, расплавом и нижней плитой;
 $x^{\dots}, y^{\dots}, z^{\dots}$ – координаты наружной поверхности формы.

Вполне очевидно, что уравнение (4) необходимо совместить с теплофизическими уравнениями по расчету температурного поля фильтрующегося газа.

Для описания процессов теплопередачи в стенке формы используем метод потоков [1]. Для этого разобьем стенку формы на элементарные ячейки. На рис. 2 приведена расчетная схема для двумерного случая.

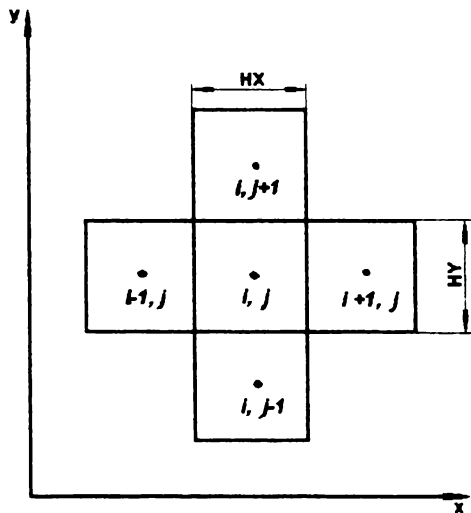


Рис. 2. Расчетная схема для двумерного случая

Для изменения внутренней энергии газа и дисперсной среды в пределах ячейки с индексами i, j можно написать следующее уравнение:

$$\frac{\partial E_{i,j}}{\partial t} = -\iint_S Q_{i,j} \cdot n \cdot ds, \quad (10)$$

где $Q_{i,j}$ – вектор плотности потока энергии на поверхности, ограничивающей выделенную ячейку (i, j) ;

S – площадь поверхности, ограничивающей ячейки.

При отсутствии движения газа ($gradP = 0$) плотность теплового потока определяется теплопередачей теплопроводностью с эффективным значением коэффициента теплопроводности $\lambda_{эф}$. При этом плотность теплового потока

равна $(-\lambda_{эф} \cdot \frac{\partial T_{cp}}{\partial n})$, где T_{cp} – температура дисперсной среды.

Плотность теплового потока, связанного с потоком газа, равна $\vec{v} \cdot \vec{n} \cdot c_2 \cdot \rho_2 \cdot T_2$. Внутри ячейки происходит перераспределение тепла, внесенного с газом, между газом и материалом среды за счет теплового потока от газа к материалу:

$$\Delta Q = \alpha_V (T_2 - T_{cp}) \cdot \Delta V \cdot \Delta t,$$

где α_V – коэффициент теплоотдачи, отнесенный к единице объема пористой среды;

ΔV – объем ячейки.

Напишем конечно-разностный вариант уравнения (10) для двумерного случая. Изменение энергии ячейки за счет теплопередачи теплопроводностью вычислим по формуле

$$\begin{aligned} \Delta E_{yT} = & -\Delta t \left(\lambda_{эф} \left(\frac{\partial T_{cp}}{\partial x} \right)_{i-1,j}^k - \lambda_{эф} \left(\frac{\partial T_{cp}}{\partial x} \right)_{i+1,j}^k \right) HY + \\ & + \left(\lambda_{эф} \left(\frac{\partial T_{cp}}{\partial y} \right)_{i,j-1}^k - \lambda_{эф} \left(\frac{\partial T_{cp}}{\partial y} \right)_{i,j+1}^k \right) HX. \end{aligned} \quad (11)$$

Это изменение энергии приведет к изменению температуры ячейки (как газа, так и дисперсного материала):

$$\Delta T_1 = \frac{\Delta E_{yT}}{(c_2 \cdot \rho_2 \cdot \Pi + c_\phi \cdot \rho_\phi (1 - \Pi)) \cdot HX \cdot HY} =$$

$$\begin{aligned}
&= \frac{\Delta E_{iT}}{c_{\phi} \cdot \rho_{\phi} \left(\frac{c_z \cdot \rho_z \cdot \Pi}{c_{\phi} \cdot \rho_{\phi}} + (1 - \Pi) \right) \cdot HX \cdot HY} = \\
&= \frac{\Delta E_{iT}}{c_{\phi} \cdot \rho_{\phi} (1 - \Pi) \cdot HX \cdot HY} ,
\end{aligned} \tag{12}$$

так как $\frac{c_z \cdot \rho_z \cdot \Pi}{c_{\phi} \cdot \rho_{\phi}} \ll (1 - \Pi)$.

За время Δt энергия газа изменится на величину ΔE_{iT} , равную изменению энергии за счет переноса тепла движущимся газом и теплообмена с дисперсной средой.

$$\begin{aligned}
\Delta E_{iK} = & -\Delta t \left((c_z (\rho_z v_x T_z)_{i+1,j}^* - c_z (\rho_z v_x T_z)_{i-1,j}^*) HX + (c_z (\rho_z v_y T_z)_{i,j+1}^* - \right. \\
& \left. - c_z (\rho_z v_y T_z)_{i,j-1}^*) \cdot HY + \alpha_v^* (T_z - T_{\phi})^* HX \cdot HY \right),
\end{aligned} \tag{13}$$

где v_x и v_y – компоненты вектора скорости;

c_z – теплоемкость газа, Дж/(кг·К);

α_v – объемный коэффициент теплоотдачи, Вт/(м³·К).

Это приведет к изменению температуры газа:

$$\Delta T_z = \frac{\Delta E_{iK}}{HY \cdot HX \cdot c_z \cdot \rho_z \cdot \Pi} . \tag{14}$$

За счет передачи тепла от газа к материалу ячейки ее температура изменится на величину

$$\Delta T_3 = \frac{\alpha_v^* (T_z - T_m)^* \cdot \Delta t}{c_{\phi} \cdot \rho_{\phi} (1 - \Pi)} . \tag{15}$$

Полное изменение температуры дисперсной среды равно $\Delta T_{\phi} = \Delta T_1 + \Delta T_3$, а температуры газа $\Delta T_z = \Delta T_1 + \Delta T_2$.

Температуры на следующем шаге по времени равны

$$T_{\phi ij}^{\kappa+1} = T_{\phi ij}^{\kappa} + \Delta T_{\phi}; \quad T_{z ij}^{\kappa+1} = T_{z ij}^{\kappa} + \Delta T_z .$$

Функции в правых частях уравнений (11), (13), (15) соответствуют предыдущему шагу по времени. Объемный коэффициент теплоотдачи α_v можно вычислить по формуле [2]

$$\alpha_v = 6\alpha_F(1 - \Pi)/d,$$

где α_F – поверхностный коэффициент теплоотдачи;

d – средний диаметр зерен песка.

Поверхностный коэффициент теплоотдачи α_F находим из критериального уравнения

$$Nu = 0,106 \cdot Re, \quad (16)$$

где $Nu = \frac{\alpha_F \cdot d}{\lambda_z}$, $Re = \frac{v \cdot d}{\nu \cdot \Pi}$.

Коэффициент проницаемости K можно определить по данным определения газопроницаемости. При стандартном методе газопроницаемость определяется по формуле

$$K_z = \frac{V_z \cdot h}{S \cdot P \cdot t},$$

где V_z – объем газа, см³;

h – высота стандартного образца, см;

S – площадь образца, см²;

t – время, с;

P – избыточное давление, см вод. ст.

Для перевода газопроницаемости K_z в коэффициент проницаемости необходимо пересчитать ее размерность в СИ.

$$K = K_z \cdot \frac{10^{-4}}{98} \cdot \mu_s,$$

где μ_s – динамический коэффициент вязкости воздуха при $t=20$ °С; $\mu_{s20^\circ} = 1,98 \cdot 10^{-5}$ Па·с.

$$K = 2K_z \cdot 10^{-11}. \quad (17)$$

Компоненты скорости вычисляются по формулам:

$$v_x = -\frac{K}{\mu} \cdot \frac{\partial P}{\partial x}; \quad (18) \quad v_y = -\frac{K}{\mu} \cdot \frac{\partial P}{\partial y}. \quad (19)$$

Массовый расход газа из зазора определяется по формуле

$$\frac{dm_z}{dt} = -\frac{P_\phi}{RT_{\phi}} \cdot h_3 \cdot b \cdot (v_x)_n, \quad (20)$$

где h_3 – высота зазора;

b – ширина модели;

$(v_x)_n$ – скорость газа на внутренней поверхности формы.

Напишем граничные условия процесса:

$$v_x(x^{**}, y^{**}, z^{**}, t) = 0; \quad (21) \quad v_y(x^{**}, y^{**}, z^{**}, t) = 0; \quad (22)$$

$$v_x(x^{***}, y^{***}, z^{***}, t) = 0; \quad (23) \quad v_y(x^{***}, y^{***}, z^{***}, t) = 0; \quad (24)$$

$$v_{x.S_\theta} = 0; \quad v_{y.S_\theta} = 0; \quad (25) \quad v_{x.S_H} = 0; \quad v_{y.S_H} = 0, \quad (26)$$

где S_θ и S_H – верхняя поверхность контакта формы с моделью и поверхность контакта формы с нижней плитой.

$$\lambda_m \left(\frac{\partial T_m}{\partial n} \right)_{x^{**}, y^{**}, z^{**}} = \lambda_{\phi} \cdot \left(\frac{\partial T_\phi}{\partial n} \right)_{x^{**}, y^{**}, z^{**}}; \quad (27)$$

$$\lambda_{\phi} \left(\frac{\partial T_\phi}{\partial n} \right)_{x^{***}, y^{***}, z^{***}} = \lambda_c \cdot \left(\frac{\partial T_c}{\partial n} \right)_{x^{***}, y^{***}, z^{***}}; \quad (28)$$

$$T_m(x^{**}, y^{**}, z^{**}) = T_\phi(x^{**}, y^{**}, z^{**}); \quad (29)$$

$$T_c(x^{***}, y^{***}, z^{***}) = T_\phi(x^{***}, y^{***}, z^{***}); \quad (30)$$

$$\left(\frac{\partial T_\phi}{\partial n} \right)_{S_{\text{ниж}}} = 0, \quad (31)$$

где T_m , T_ϕ и T_c – температуры модели, формы и сплава;

$S_{нар}$ – наружная поверхность формы.

Начальные условия процесса:

$$P(x, y, z, t=0) = P_a; \quad (32) \quad P_\phi = P_a, \quad (33)$$

$$T_\phi(x, y, z, t=0) = T_{20}; \quad (34) \quad T_c(x, y, z, t=0) = T_{20}. \quad (35)$$

Система уравнений (4)–(9) и (11)–(35) образует математическую модель процесса. Для того чтобы ее замкнуть, необходимо совместить ее с моделями процессов формирования газового зазора, т.е. плавления и испарения пенополистирола, кинетики заполнения формы сплавом, а также тепловых процессов при заполнении формы сплавом.

Литература

1. Белоцерковский О. М. Численное моделирование в механике сплошных сред. – М.: Наука, 1984. – 519 с.
2. Телегин А. С., Швыдкий В. С., Ярошенко Ю. Г. Термодинамика и тепломассообмен. – М.: Металлургия, 1980. – 264 с.

**Б. С. Чуркин,
А. Б. Чуркин**

ГИДРОДИНАМИЧЕСКИЕ ЗАКОНОМЕРНОСТИ ЗАПОЛНЕНИЯ ФОРМ ПРИ ЛИТЬЕ ПОД РЕГУЛИРУЕМЫМ ДАВЛЕНИЕМ

Анализ гидродинамических процессов при заполнении форм в условиях литья под регулируемым давлением, как правило, проводят с использованием нестационарного уравнения Бернулли для участков заполнения металлопровода и полости формы [1, 2]. При этом начальную скорость подъема уровня в полости формы находят по формуле

$$v_0 = v_{мк} \frac{\omega_m}{\omega_\phi}, \quad (1)$$